

# OMPI



**ORGANIZACIÓN MUNDIAL DE LA PROPIEDAD INTELECTUAL**  
GINEBRA

**S**

**SCIT/SDWG/10/3**

**ORIGINAL:** Inglés

**FECHA:** 16 de octubre de 2008

## **COMITÉ PERMANENTE DE TECNOLOGÍAS DE LA INFORMACIÓN**

### **GRUPO DE TRABAJO SOBRE NORMAS Y DOCUMENTACIÓN**

**Décima reunión**  
**Ginebra, 17 a 21 de noviembre de 2008**

**REVISIÓN DE LA NORMA ST.22 DE LA OMPI (TAREA N° 37)**

*Documento preparado por la Secretaría*

1. En su séptima reunión, celebrada en mayo/junio de 2006, el Grupo de Trabajo sobre Normas y Documentación (SDWG) del Comité Permanente de Tecnologías de la Información (SCIT) convino en crear una tarea para la revisión de la Norma ST.22 (Tarea N° 37), que se refiere a las recomendaciones destinadas a los solicitantes que presenten solicitudes de patente en papel con miras a facilitar el reconocimiento óptico de caracteres (ROC). El SDWG también decidió establecer el Equipo Técnico de la Norma ST.22 a los fines de ocuparse de esa revisión. Además, el SDWG pidió al Equipo Técnico que:

- a) examine el uso de caracteres distintos a los del alfabeto latino, de manera que la norma pueda aplicarse posteriormente a idiomas que utilizan otro tipo de caracteres;
- b) examine el índice de exactitud del reconocimiento óptico de caracteres (ROC) (actualmente superior al 98,5%) para determinar si debería especificarse un índice de exactitud más elevado;
- c) tenga en consideración qué estilos y tamaños de caracteres deberían recomendarse a los fines de una mayor legibilidad, para la presentación en pantalla, y para el ROC.

(Véanse los párrafos 32 a 38 del documento SCIT/SDWG/7/9)

2. Para dar seguimiento a lo anterior, el Equipo Técnico de la Norma ST.22 preparó una propuesta sobre la revisión de la Norma ST.22 de la OMPI para someterla a consideración del SDWG en su octava reunión, celebrada en marzo de 2007. Sin embargo, el SDWG aceptó aplazar la adopción de la versión revisada de la Norma ST.22 de la OMPI a fin de garantizar su armonización con los avances logrados, en ese momento, en el proyecto de Formato común de solicitud de las Oficinas de la Cooperación Trilateral (OEP, OJP y USPTO) que podían incidir en la Norma ST.22 de la OMPI. El SDWG también pidió al Equipo Técnico de la Norma ST.22 que considere las siguientes cuestiones que todavía no se han planteado en la propuesta de Norma ST.22 de la OMPI: los dibujos integrados, las fotografías (en escala de grises o en color), los juegos de caracteres, los caracteres no latinos, y los formularios presentados con las solicitudes de patente.

3. El formato común de solicitud se publicó en el sitio Web de las Oficinas de la Cooperación Trilateral el 30 de noviembre de 2007.

4. En su novena reunión, celebrada en febrero de 2008, el SDWG tomó nota del informe verbal presentado por el responsable del Equipo Técnico de la Norma ST.22 sobre la labor del Equipo Técnico relativa a la revisión de la Norma ST.22 de la OMPI. El responsable informó al SDWG de que la única preocupación sobre posibles conflictos entre la propuesta y el formato común de solicitud publicado se refiere a la numeración de las reivindicaciones en las solicitudes de patente. El SDWG pidió al Equipo Técnico de la Norma ST.22 que continúe su labor con miras a presentar la versión de la Norma ST.22 de la OMPI en caracteres latinos para su aprobación en la próxima reunión del SDWG, y que comience la tarea de formular recomendaciones para los idiomas con caracteres no latinos.

5. Los resultados de la labor del Equipo Técnico de la Norma ST.22 se presentan en la propuesta relativa a la revisión de la Norma ST.22 de la OMPI que se expone en el Anexo del presente documento, para que sea examinada y aprobada por el SDWG. Para preparar la mencionada propuesta, el Equipo Técnico de la Norma ST.22 ha tenido en cuenta todos los comentarios recibidos en relación con los caracteres no latinos, incluidos los debates que tuvieron lugar en su reunión oficiosa celebrada durante la semana de la novena reunión del SDWG.

6. Cabe observar que, en su séptima reunión, el SDWG convino en que sería menester señalar la revisión de la Norma ST.22 a la atención de los solicitantes, las oficinas, los proveedores comerciales de datos y los abogados de patentes. (Véase el párrafo 39 del documento SCIT/SDWG/7/9.)

3. *Se invita al SDWG a:*

a) *examinar y aprobar la propuesta relativa a la revisión de la Norma ST.22 de la OMPI que se expone en el Anexo del presente documento, y*

*b) considerar, si procede, la posibilidad de pedir a la Oficina Internacional que redacte una circular para informar a las oficinas de propiedad industrial (OPI) y a los miembros del SDWG sobre la revisión de la Norma ST.22 de la OMPI e invitar a las OPI a publicar un anuncio en sus respectivos boletines de patentes y sitios Web a los fines de notificar a los solicitantes, proveedores comerciales de datos y abogados de patentes de las respectivas zonas geográficas la norma revisada, como se menciona en el párrafo 6 del presente documento.*

[Sigue el Anexo]

ANEXO

**NORMA ST.22**

RECOMENDACIÓN RELATIVA A LA ELABORACIÓN DE SOLICITUDES DE PATENTE A LOS FINES DE FACILITAR EL RECONOCIMIENTO ÓPTICO DE CARACTERES (ROC)

*Propuesta preparada por el Equipo Técnico de la Norma ST.22*

INTRODUCCIÓN

1. La presente recomendación se aplica a las solicitudes de patente presentadas en papel y a las solicitudes de patente presentadas por medios electrónicos (presentación-e), a condición de que el cuerpo del texto de la solicitud se presente en formato imagen (por ejemplo, imágenes PDF o TIFF).
2. La presente recomendación ha sido formulada para contribuir a la preparación de solicitudes de patente mecanografiadas a los fines de un posterior registro digitalizado del contenido de las mismas mediante equipos de reconocimiento óptico de caracteres (ROC).
3. La presente recomendación ha sido formulada en función de la experiencia adquirida por varias oficinas en la utilización de equipos de ROC. Ha sido redactada teniendo presente el objetivo de que se produzca el índice más bajo posible de errores en la etapa de lectura automática del texto de las solicitudes de patente y de permitir a la vez una lectura personal y eficaz del documento. Cabe señalar que en el presente documento no se proporcionan recomendaciones detalladas para los idiomas japonés ni coreano; en efecto, en esos dos idiomas la proporción de solicitudes electrónicas respecto del número total de solicitudes que se presentan por año es superior al 90%, lo que significa que, en la práctica, la presente Norma no es aplicable a los idiomas japonés ni coreano.
4. La principal finalidad del registro digitalizado de una solicitud de patente es facilitar la publicación de dicha solicitud en un formato compuesto mediante la utilización de técnicas de composición tipográfica por computadora y mejorar así la presentación y la utilidad de los documentos de patente en beneficio de todos los usuarios. Otra de las finalidades es crear una base de datos, legible por máquina, de textos completos de documentos publicados de modo que puedan aprovecharse esas ventajas ulteriormente de entre las posibilidades que ofrece la búsqueda de textos completos por computadora.

DEFINICIÓN

5. A los fines de la presente recomendación, se entenderá por "solicitud de patente" toda solicitud de patente de invención, certificado de inventor, certificado de utilidad, modelo de utilidad, patente o certificado de adición, certificado de inventor de adición y certificado de utilidad de adición.
6. Se considerará que una fórmula matemática o química es "compleja" en la medida en que no pueda exponerse en una secuencia lineal de caracteres por el hecho de que se haya atribuido a cada carácter un subíndice o superíndice opcional. Se considerará que una fórmula es muy compleja si contiene subíndices/superíndices insertados o si contiene símbolos matemáticos de sumas, integrales o productos.
7. La caja de delimitación de un carácter/juego de caracteres es el rectángulo más pequeño alineado al eje que incluye todas las partes del carácter/juego de caracteres.
8. Se entenderá por "cursiva" la forma estilizada de escritura en que las letras de las palabras están ligadas, haciendo de la palabra un solo trazo complejo. Se dice que una letra es cursiva cuando está concebida para imitar a la letra manuscrita.

CREACIÓN DEL ORIGINAL

9. Para la preparación de las solicitudes de patente se utilizan con frecuencia equipos de procesamiento de textos. La experiencia ha demostrado que el formato más eficaz para un uso fiable del equipo de ROC es el que se define en la Norma 1073/II de la Organización Internacional de Normalización (ISO), a saber, el llamado formato OCR-B.

SOLICITUDES PRESENTADAS EN PAPEL: SOPORTE

10. A los fines de facilitar la digitalización, el papel en el que se mecanografía la solicitud debe reunir las siguientes características:
  - a) Papel sólido, blanco y limpio.
  - b) El peso del papel debe oscilar entre 70 y 120 g/m<sup>2</sup>.

SCIT/SDWG/10/3  
Anexo, página 2

- c) En cuanto al tamaño de hoja, de preferencia debe utilizarse el formato A4, es decir, 210 mm x 297 mm o 8 1/2 por 11 pulgadas (norma norteamericana).
- d) Las hojas deben estar exentas de agujeros y no deben presentar pliegues.
- e) El papel no debe ser absorbente a los fines de evitar que la tinta se corra (por ejemplo, si se utilizan impresoras de inyección de tinta).

DISPOSICIÓN DE LA PÁGINA: RECOMENDACIONES

- 11. Se debe evitar la impresión en ambas caras (anverso-reverso). Si ello no es posible, debe utilizarse un papel suficientemente opaco para asegurar una digitalización anverso-reverso limpia.
- 12. Para los caracteres debe utilizarse una tinta negra oscura sobre fondo blanco.
- 13. Se debe dejar un margen mínimo de 2 cm en la parte superior, inferior y lateral de cada página y un margen mínimo de 2,5 cm en la parte izquierda de la página. En el margen superior debería figurar la referencia del solicitante o representante. A ese respecto, cabe remitirse al Apéndice 1.
- 14. Debe evitarse la numeración de líneas. Si se exige la numeración, los números de línea deben mecanografiarse en caracteres arábigos en el margen izquierdo y como mínimo a 1 cm del recuadro, como se muestra en el Apéndice 1. El tamaño de los números debe ser de 12 puntos como mínimo.
- 15. Para la numeración de las páginas deben utilizarse los caracteres arábigos, sin tener que utilizar otros caracteres que delimiten. De preferencia, los números de página deberán ir centrados en la parte superior o inferior de la página, en el margen estipulado, como se muestra en el Apéndice 1.
- 16. La descripción, las reivindicaciones y el resumen deben figurar en páginas separadas. Además, en las primeras palabras impresas de la primera página de cada una de las tres partes antes mencionadas de la solicitud deberá especificarse la parte correspondiente (en el idioma de la solicitud); los párrafos de las reivindicaciones deberán numerarse de forma secuencial. El formato de la numeración de las reivindicaciones debe permitir una separación clara entre el número y el texto de cada reivindicación. Al efecto, se recomienda utilizar los números arábigos seguidos por un punto, o bien la palabra "Reivindicación" -o su equivalente en el idioma de la solicitud de patente-, seguida por un espacio y el número arábigo de la reivindicación; en ambos casos, se dejará un sangrado de por lo menos 1 cm entre el número y el texto de la reivindicación.
- 17. Las páginas deben consistir en una única columna de párrafos (párrafos de texto o párrafos que contengan imágenes integradas).
- 18. Para las páginas que contengan párrafos debe utilizarse la orientación vertical.
- 19. Debe evitarse la orientación horizontal. Sólo debe aceptarse esa orientación para las páginas que contengan dibujos o cuadros integrados que no cabrían de forma vertical.
- 20. El texto de las páginas debe estar únicamente en una dirección.
- 21. Las páginas con orientación horizontal apaisada deben girarse a 90° en el sentido contrario de las agujas del reloj a fin de su integración dentro del conjunto de páginas de orientación vertical.
- 22. Se recomienda evitar la utilización de notas de pie de página, textos al margen y encabezamientos, salvo lo indicado en el párrafo 3.14 (numeración de líneas) y en el párrafo 4.15 (numeración de páginas), y para la inclusión de una referencia del expediente del solicitante en la esquina superior izquierda del margen.

DISPOSICIÓN DE LOS PÁRRAFOS: RECOMENDACIONES

- 23. Se recomienda separar cuadros, fórmulas químicas o matemáticas complejas y dibujos de los párrafos que consistan en texto. Se aconseja separar esos elementos de la línea de texto de arriba y de abajo utilizando márgenes en blanco, partiendo de una altura mínima de 1 cm que abarque toda la anchura de la página.
- 24. Las imágenes y los dibujos deben incluirse exclusivamente en la sección "Dibujos" y se hará referencia a ellos en las secciones "Descripción" y "Reivindicación" de la solicitud de patente.
- 25. Las imágenes y los dibujos deben ser en blanco y negro (debe evitarse las imágenes en escala de grises ya que se pierde información al digitalizarlas o convertirlas a blanco y negro). Las cifras deben contener líneas claras suficientemente gruesas para que estén bien definidas a una resolución de 300 dpi.
- 26. Deben evitarse los párrafos o anotaciones escritos a mano. En caso de ser necesarios, serían considerados en tanto que dibujos integrados, para lo cual debe seguirse la recomendación que figura en el párrafo 12.23.
- 27. En el mecanografiado debe dejarse un espacio de una línea y media.

SCIT/SDWG/10/3  
Anexo, página 3

28. Los párrafos deben ir separados mediante un espacio que sea como mínimo dos veces tan grande como el espacio que se utilice para las líneas dentro de un párrafo.
29. Deben alinearse con cuidado las líneas base de todos los caracteres de las líneas de párrafo, con excepción de los subíndices y los superíndices como se indica en el párrafo 24.35.
30. Deben evitarse los párrafos de texto justificados. Si se utiliza la justificación, el espacio que se deje entre las palabras debe ser como mínimo del mismo ancho que el del texto no justificado. Todo texto justificado puede impedir que un sistema de ROC identifique correctamente el final de las palabras de un párrafo.
31. Cuando sea posible, deben evitarse los cortes de palabra utilizando guiones (por ejemplo, al final de líneas o casillas de cuadros). Esta recomendación no se aplica a los idiomas que utilizan nombres compuestos (por ejemplo el alemán).

CUADROS: RECOMENDACIONES

32. Sólo deben utilizarse fondos en blanco.
33. Los cuadros deben tener borde. Los bordes deben ser más anchos que 1,5 puntos y sólo deben utilizarse líneas continuas.

CARACTERES: RECOMENDACIONES

34. El tamaño mínimo que se recomienda para los caracteres es 12 puntos, aunque se prefiere un tamaño de 14 puntos. Como recomendación general, todos los caracteres de un párrafo deben ser del mismo tamaño.
35. En los párrafos de texto que contengan subíndices y superíndices debe utilizarse un tamaño de caracteres de 12 puntos como mínimo (es recomendable utilizar caracteres de 14 puntos - cuanto mayores, mejor). Hay que asegurarse de que la caja de delimitación de los subíndices o superíndices se alinee suficientemente con la caja de delimitación de los caracteres normales de la misma línea (así el sistema de ROC no podrá poner los subíndices/superíndices en diferentes líneas).
36. A continuación figuran, por orden de preferencia, el tipo de caracteres recomendados:
- a) caracteres monoespacio: ROC-B, Courier New, Free Mono
  - b) caracteres Serif: ITC Oficina Serif, Times New Roman, Free Times
  - c) caracteres Sans Serif: Verdana, ITC Oficina Sans, Arial, Helvetica, DejaVu Sans.

Ahora bien, no se recomienda utilizar los tipos Arial, Helvetica, DejaVu Sans, Free Times y Times New Roman para las solicitudes que contengan fórmulas químicas y/o matemáticas así como siglas en las que se combinen letras y dígitos. En lo que respecta a los caracteres chinos, se recomiendan los caracteres del tipo Song.

37. Debe velarse por que los caracteres estén bien conformados y sin sombras. Los espacios entre caracteres deben ser suficientemente amplios (deben evitarse los pequeños espacios).
38. No deben utilizarse caracteres estrechos y en cursiva.
39. Debe evitarse tanto como sea posible la utilización de la negrita y la cursiva
40. Debe evitarse tanto como sea posible la utilización de caracteres inusuales (no normalizados/no típicos/irregulares). De ser necesario recurrir a caracteres inusuales, debe utilizarse el alfabeto griego normal y los símbolos (por orden de preferencia). No deben utilizarse caracteres que no figuren en la gama UNICODE; los sistemas de ROC identifican esos caracteres como imágenes integradas y, por consiguiente, dificultan la lectura del texto. Cada oficina definirá y publicará sus prescripciones relativas al conjunto de caracteres que pueden utilizarse para la preparación de solicitudes de patente.
41. No deben subrayarse los textos. En caso de que fuera necesario, deberá velarse por que el subrayado no esté pegado a la caja de delimitación de los caracteres en cuestión.

IDIOMAS NO LATINOS: RECOMENDACIONES

42. Dentro de una misma sección/página de las solicitudes de patente, la combinación de idiomas asiáticos (a base de ideogramas) y europeos (alfabetos latino y cirílico) plantea problemas para el procedimiento de ROC, por lo que debe evitarse.

#### DIGITALIZACIÓN: RECOMENDACIONES

43. Las solicitudes de patente deben digitalizarse en blanco y negro o en escala de grises.
44. La resolución preferible para la digitalización es 300 dpi. Es posible que las oficinas publiquen documentos de mala calidad si la digitalización se hace a resoluciones inferiores a 300 dpi, incluso en escala de grises, habida cuenta de que el intercambio de documentos entre oficinas y los procedimientos de publicación suponen a menudo la conversión de la página a formato TIFF grupo 4 en blanco y negro con una resolución de 300 dpi.
45. Los documentos digitalizados deben convertirse a formatos PDF o TIFF.

#### CORRECCIONES

46. Para la corrección del texto de una solicitud debe reimprimirse la página en su totalidad. No se aceptarán correcciones realizadas tras la lectura de textos, por ejemplo, las que se mencionan en la norma internacional ISO 5776. No se aceptarán las correcciones realizadas por medio de líquidos, adhesivos de papel, borradores y tachaduras. Las páginas que sean reemplazadas no podrán ser enviadas por fax a la oficina utilizando la resolución normalizada; las páginas deben ser enviadas en su forma original o por fax utilizando una resolución igual o superior a 300 dpi o por cualquier medio de transmisión en red confirmado por la oficina, siempre que cada página haya sido digitalizada con una resolución igual o superior a 300 dpi.

#### RECOMENDACIONES PARA LAS OFICINAS

47. Las oficinas de patentes deben evitar la modificación de las páginas recibidas antes de que sean objeto de digitalización y procedimientos de ROC. Por ejemplo, algunas oficinas observan prácticas como la de sellar las solicitudes, lo que puede suponer la adición de caracteres en páginas, con lo que los textos que someta el solicitante pueden ser ilegibles mediante procedimientos de ROC. En la medida en que deban realizarse sellados o introducirse cambios en las páginas originales, las oficinas adoptarán medidas a los fines de que dichos cambios sólo se realicen en los márgenes del documento, como se explica en el Apéndice 1.
48. En el futuro, las oficinas de patentes deberán evitar la utilización de formularios en papel para llevar la comunicación entre los solicitantes y la oficina. Conforme a la experiencia pasada, es preferible concebir y establecer sistemas seguros de formularios en línea antes que crear sistemas de reconocimiento de formularios en papel. Sin embargo, las siguientes recomendaciones se formulan para la preparación de formularios en papel con miras a facilitar su reconocimiento:
- No deben utilizarse líneas punteadas en los formularios para indicar al usuario donde colocar el texto.
  - Deben utilizarse colores ciegos para las cajas de caracteres (grises claros).
  - No deben utilizarse colores ciegos en aquellas zonas previstas para recibir contenidos en escala de grises o en color como firmas o dibujos digitalizados.

#### PUESTA EN PRÁCTICA

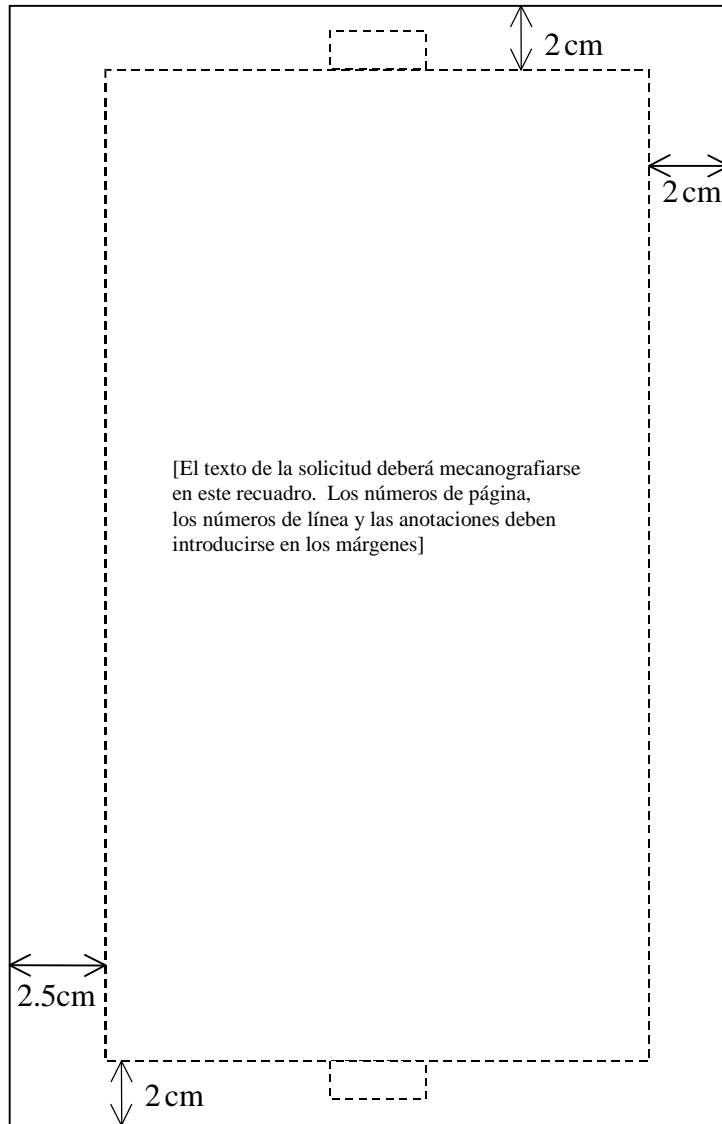
49. Se recomienda que las oficinas que tengan previsto empezar a aceptar o a solicitar que las solicitudes de patente se presenten en formato ROC publiquen regularmente orientaciones completas en sus boletines oficiales y en sus sitios Web, en las que se definan el o los tipos de caracteres autorizados y se especifique el tamaño de papel exacto.

#### *Ejemplos*

50. En el Apéndice 2 de la presente recomendación se exponen ejemplos de buenas y malas prácticas en lo que respecta al ROC. En dichos ejemplos puede verse lo que debe o no hacerse, a lo que viene a añadirse una breve explicación.

[Siguen los Apéndices]

**APÉNDICE 1**



Tamaño original = A4



## APÉNDICE 2

### EJEMPLOS DE BUENAS Y MALAS PRÁCTICAS

En el presente apéndice figuran ejemplos de páginas de documentos de patente bien o mal presentadas en lo que respecta a la exactitud que se obtiene si son objeto de reconocimiento óptico de caracteres.

#### EJEMPLOS DE BUENAS PRÁCTICAS

##### 1. *Ejemplo de página de descripción bien presentada*

WO 2006/111319

PCT/EP2006/003401

**Projection exposure system, method for manufacturing a micro-structured structural member by the aid of such a projection exposure system and polarization-optical element adapted for use in such a system**

5

The invention relates to a projection exposure system, in particular for micro-lithography. The invention further relates to a method for manufacturing a micro-structured component and a polarization-optical element for the extreme ultraviolet (EUV) region.

10

For highest possible precision of the optical image to be obtained in complicated optical instruments such as a projection exposure system, the influence of the polarization of the light must be considered or, respectively, the polarization must be influenced specifically. For example, in particular  
15 in case of great incidence angles, polarization effects occur in the mirror systems, which projection exposure systems in the EUV region are based on, for lack of suitable transparent materials. These polarization effects are in particular due to the varying reflectivity of the mirrors for s-polarized and p-polarized light and can give rise to imaging errors or other undesired  
20 effects. Efforts have been made to measure possible polarization effects in the individual components of projection exposure systems.

For example, EP 1 306 665 A2 discloses an optical instrument for measuring polarization-dependent properties which comprises a light source in the  
25 EUV or X-radiation region and a rotatable polarizer. The polarizer is substantially comprised of a set of mirrors that reflects the incident light at least three times. The mirrors are arranged in such a way that the optical axes of the incident and emergent light are on the same straight line.

SCIT/SDWG/10/3  
Anexo  
Apéndice 2, página 2

2. Ejemplo de reivindicaciones bien presentadas

WO 2006/111319

PCT/EP2006/003401

- 25 -

**Claims**

1. A projection exposure system, in particular for micro-lithography, comprising a light source (18) for producing light in the EUV region; a first  
5 optical system (19, 20, 21, 22, 23, 24) for illuminating a mask (25) by the light of the light source (18); and a second optical system (26, 27, 28, 29, 30) for imaging the mask (25) on a structural member (32); wherein at least one polarization-optical element (1) for the EUV region is disposed on the beam path between the light source (18) and the structural member (32),  
10 said at least one polarization-optical element comprising at least one reflective cone surface (3, 7, 12, 14), having a polarizing effect for the light produced by said light source.
2. Projection exposure system according to claim 1, wherein the polarization-optical element comprises  
15 - at least one cone element (2) having an outer cone surface (3) being reflective for at least a given polarization component of the EUV light being incident under an angle of inclination  $\alpha$  to the axis of rotational symmetry of the cone surface in a region of inclination angles  $\alpha$  between  $0^\circ$  and a maximum angle of inclination such that the cone surface (3) has a polarizing effect, and  
20 - having at least one further reflective component (4; 11, 13) for the EUV light to bundle the EUV light being reflected from the outer cone surface (3) of the cone element (2).
- 25 3. Projection exposure system according to claim 1 or 2, wherein the polarization-optical element comprises  
- at least one further cone element (6) having an outer cone surface (3) being reflective for at least a given polarization component of the EUV

Aquí se cumplen todas las recomendaciones, a saber: los márgenes, el tipo de caracteres estándar (*Times New Roman*), buen tamaño de caracteres, ausencia de número de línea, utilización limitada de la negrita, ausencia de cursiva y de textos subrayados, numeración de las reivindicaciones adecuada y bien separada de los textos de las reivindicaciones.

SCIT/SDWG/10/3  
Anexo  
Apéndice 2, página 3

3. Ejemplo de página de descripción compleja bien presentada

WO 2006/102655

PCT/US2006/011076

[0134] When performing the first iteration of step S9-4, the values of  $D_a$ ,  $A_a$ ,  $D_b$  and  $A_b$  are the values previously calculated at step S7-2, while all values of  $\lambda_n$  are zero.

[0135] The equations used by solver 244 at step S9-6 comprise the following in this embodiment:

5

$$\text{if } \left( \lambda_{x,y,z-\max}^{n+1} \right)_{ang \& lin} < 0 \text{ then } \lambda_{x,y,z-\max}^{n+1} = 0 \quad (46)$$

$$\text{if } \left( \lambda_{x,y,z-\min}^{n+1} \right)_{ang \& lin} > 0 \text{ then } \lambda_{x,y,z-\min}^{n+1} = 0 \quad (47)$$

$$\lambda_{lin}^{n+1} = \lambda_{lin-\min}^{n+1} + \lambda_{lin-\max}^{n+1} \quad (48)$$

$$\lambda_{ang}^{n+1} = \lambda_{ang-\min}^{n+1} + \lambda_{ang-\max}^{n+1} \quad (49)$$

10 [0136] The equations used by solver 244 at step S9-8 comprise the following in this embodiment:

$$D_a^{n+1} = D_a^n + L \frac{(\lambda_{lin}^{n+1} - \lambda_{lin}^n)}{m_a} \quad (50)$$

$$A_a^{n+1} = A_a^n + I_a^{-1} [r_a^s] L (\lambda_{lin}^{n+1} - \lambda_{lin}^n) + I_a^{-1} T (\lambda_{ang}^{n+1} - \lambda_{ang}^n) \quad (51)$$

$$D_b^{n+1} = D_b^n - L \frac{(\lambda_{lin}^{n+1} - \lambda_{lin}^n)}{m_b} \quad (52)$$

$$A_b^{n+1} = A_b^n - I_b^{-1} [r_b^s] L (\lambda_{lin}^{n+1} - \lambda_{lin}^n) - I_b^{-1} T (\lambda_{ang}^{n+1} - \lambda_{ang}^n) \quad (53)$$

15 [0137] Referring again to Figure 7, at step S7-6, solver 244 performs a convergence test. In this embodiment, solver 244 performs processing to determine whether the values of  $\lambda$  calculated for the current iteration differ from the values of  $\lambda$  calculated for the previous iteration by more than a predetermined threshold, in accordance with the following equation:

$$\sum_{\lambda} \frac{(\lambda^{n+1} - \lambda^n)^2}{\lambda^{n2}} \leq Threshold \quad (54)$$

20 [0138] In this embodiment, the threshold employed in Equation (54) is set to  $10^{-4}$ .

[0139] At step S7-8, solver 244 determines whether a predetermined number of iterations of the processing at steps S7-2 to S7-8 have been performed. In this embodiment, solver 244 determines whether 50 iterations have been performed.

Los párrafos de texto no contienen caracteres matemáticos inusuales. Las fórmulas matemáticas se han insertado correctamente, lo que favorece la segmentación de las imágenes mediante los sistemas de ROC. En azul figura el posible resultado de dicha segmentación.

SCIT/SDWG/10/3  
Anexo  
Apéndice 2, página 4

EJEMPLOS DE MALAS PRÁCTICAS

1. Página de mala calidad con gran número de deficiencias

WO 2005/060413

PCT/US2004/033203

LOGICAL VIEW REPORT

LOGICAL VIEW REPORT

REPORT INTRODUCTION

This is the high-level architecture for the POST Tools system. The logical view of the high-level architecture is the conceptual view, employing the SEI ABD decomposition representation of design elements, implementations, templates, requirements, decisions, and constraints.

ARCHITECTURE

The Architecture package consists of the functional subsystem decomposition in design elements and implementations, the templates corresponding to each subsystem, and the deployment and concurrency views of the architecture.

SUBSYSTEMS

The conceptual architecture subsystems are design elements and design element branches representing successive decompositions in a tree. These design elements are decomposed by functionality, quality scenarios, and constraints.

BROWSER SERVICES

The user's desktop PC browser implements the save, print and view report functionalities. This includes the capabilities provided by browser plug-ins.

DATABASE OPERATIONS

An SQL database query and result set, using Java and JDBC/ODBC.

HTTP CLIENTS (E.g. Browser)

The system employs a standard HTTP interface for client-server communication.

JAVA APPLET

This is a generic implementation class representing a Java applet. In our design the applet probably is implemented within the Silver Stream application server development and run-time environment.

JAVA BEAN

This implementation suggests any Java component in a plug-in style component framework, such as a Java Bean or an Enterprise Java Bean.

JAVA SERVLET

This implementation suggests any Java Servlet managed by an application server or web server. Java Server Pages implementations might also be suitable alternatives.

POST TOOL

This class represents the top-level design element in our architecture, representing all functionality from Vision and stakeholder input, legacy system constraints, inter-project operation and dependencies, and other contributing factors. We decompose all ABD functionality from this design element.

TABLE LOOKUP

This is a generic implementation class suggesting that the system performs a table lookup to find a component given an index key.

Este ejemplo no se ajusta a lo dispuesto en el párrafo 10 (esta página fue presentada probablemente por fax a la oficina con una resolución de 200 dpi: cabe observar que el "ruido" y parte del texto figuran en fondos gris oscuro). No se cumple tampoco con lo estipulado en los párrafos 2.13 y 33.47; se ha sellado con un número de referencia (604115530.100802) el cuerpo de la página (en vez del margen). La numeración de página tampoco es correcta (tendría que ser 9 y no "page 9"; véase el párrafo 23.34). Por último, el tamaño de los caracteres es demasiado pequeño (párrafo 4.15). Lo mejor sería que dichas páginas no fueran aceptadas por las oficinas y que se solicitara la sustitución de las mismas (no es posible aplicar un procedimiento de ROC a esta página).

2. Página con fondo no blanco

WO 2005/097403

- 13 -


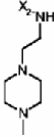
PCT/FR2005/050194

**REVENDEICATIONS**

1. Dispositif d'usinage (D) du type de celui associant une machine-outil d'usinage (100) à un dispositif porte-pièce (200) équipé d'un axe de mise en mouvement de rotation transversal (A) par rapport à l'axe de plongée (Z), CARACTÉRISÉ PAR LE FAIT QUE le dispositif porte-pièce (200) est constitué par un bâti (210) supportant deux paliers de guidage (210 et 230) en rotation selon ledit axe de rotation transversal (A), la structure formée par le bâti (210) et les deux paliers (220 et 230) étant fermée par la pièce à usiner (300) dont les extrémités viennent se fixer auxdits paliers (310 et 220), la pièce à usiner (300) étant une pièce longue du type de celle comportant des surfaces à usiner concentrées à ses deux extrémités ET PAR LE FAIT QUE la machine-outil (100) est du type de celle assurant la mise en mouvement de deux coulants porte-outil indépendants (110 et 120) de façon à ce que les usinages des deux extrémités de la pièce (300) soient réalisés par un coulant différent.
2. Dispositif d'usinage (D) selon la revendication 1, CARACTÉRISÉ PAR LE FAIT QUE chaque palier (220 et 230) comprend et guide un plateau tournant (221 et 231) équipé d'un moyen de mise en mouvement motorisé, la rotation des deux plateaux (221 et 231) étant synchronisée.
3. Dispositif (D) selon la revendication 2, CARACTÉRISÉ PAR LE FAIT QUE chaque plateau (220 et 230) est équipé de deux appuis (410, 420 et 510, 520) pour accueillir et maintenir en position l'extrémité de la pièce (300).
4. Dispositif (D) selon la revendication 1, CARACTÉRISÉ PAR LE FAIT QUE le bâti (210) du dispositif porte-pièce (200) est lui-même monté mobile en rotation selon un axe (B) perpendiculaire à l'axe (A) de rotation défini par les deux paliers (220 et 230) qu'il supporte.
5. Procédé d'usinage d'une pièce longue (300) du type de celle comportant des surfaces à usiner concentrées à

Este ejemplo no se ajusta a lo dispuesto en el párrafo 12. La página debe ser objeto de filtro para intentar suprimir el ruido de segundo plano antes de poder utilizar procedimientos de ROC. Si se aplicaran procedimientos de ROC se obtendría un texto ilegible.

3. Página con caracteres poco claros

#	R2	A	UV max [nm]:	MS (ESI) (M+H) <sup>+</sup>	
25			305, 350	476	Trihyc 1,41 ( (m, 2h (m, 1h

Beispiele 26-40

Die folgenden Verbindungen sind über ein analog  
beschrieben, hergestellt. Die Herstellung des Benz

5 beschrieben. Das für die Darstellung des Amids ei

Se ha ampliado una pequeña parte de la página para mostrar los caracteres: es probable que el color del texto original fuera gris, a raíz de la digitalización en una resolución de 300 dpi en blanco y negro en caracteres que no son sólidos. La exactitud del texto objeto de ROC resulta así escasa (este ejemplo no se conforma al párrafo 12).

4. Página con texto escrito a mano

TITLED : JIG HEAD SWAY BAR

BACK GROUND

IN THE ART OF FISHING THERE IS A PIECE  
OF TACKLE KNOWN AS A PIVOT-HEAD JIG WHICH  
USES SPECIALIZED OR SPECIFICALLY SHAPED HOOKS TO  
PROVIDE AN ACTION PRODUCING LURE COMBINATION.  
MY INVENTION THE SWAYBAR ALLEVIATES THIS  
NEED FOR SPECIAL HOOKS BY BEING ABLE  
TO BOTH SUPPORT THE JIG HEAD AND ALLOW  
FOR CONNECTION OF OTHER REQUIRED TACKLE

Como es de esperar, el texto obtenido tras un procedimiento de ROC de esta página es ilegible. Las oficinas deberían exigir que los textos sean mecanografiados para garantizar una calidad mínima en la publicación.

SCIT/SDWG/10/3  
 Anexo  
 Apéndice 2, página 7

5. Página en la que no se cumplen las recomendaciones en materia de disposición y que presenta otras deficiencias

WO 2005/086760

PCT/US2005/007335

38

*relation to the determination of AN by FTIR spectroscopy*

This concept is illustrated in Figure 1 for AN, the BN analysis being analogous but using a different reagent. Differential spectroscopy is then used to eliminate the spectral contributions from the base oil and any additives and/or contaminants and breakdown products present in the oil that may spectrally interfere with the measurement of the signal from the reaction product. This is achieved by treating a portion of the sample with a blank reagent, this portion effectively serving as a reference oil. Figure 2 illustrates the general analytical protocol.

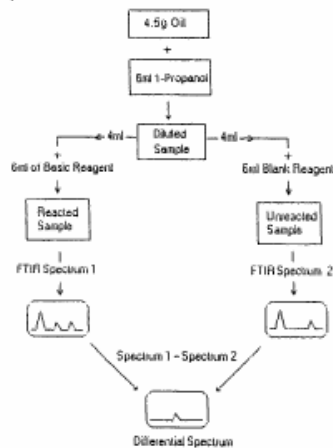


Figure 2. Analytical protocol for the determination of AN by FTIR spectroscopy.

In this procedure, the sample is first diluted with an innocuous solvent (1-propanol), then split and treated with a

reactive and a blank reagent to produce two samples for spectral analysis. Since these two samples are the same except for the reaction products, subtraction of their spectra leaves only the spectral contribution related to AN.

**The COAT AN/BN Analyzer**

The COAT AN/BN Analyzer has been designed and programmed to automate AN/BN analyses based on the concepts laid out above. Figure 3 illustrates key components of the COAT AN/BN Analyzer: an FTIR spectrometer, a sample handling accessory, an autosampler, and the computer that controls the system.

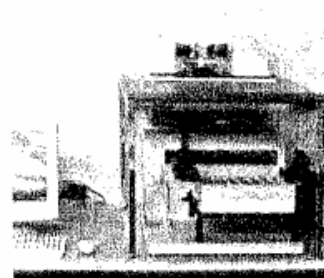


Figure 3. The COAT AN/BN Analyzer and its key components

The compact nature of the sample handling system is made possible by the dilution of the sample in the analytical protocol (Figure 2), allowing a micropump to be substituted for the peristaltic pump employed in most FTIR used oil analyzers. The resulting low viscosity of the sample dramatically

Esta página no se ajusta a lo dispuesto en las siguientes recomendaciones: párrafo 6.17 (formato en una única columna), párrafo 39 (se utilizan caracteres en cursiva y en negrita), párrafo 32.46 (se han efectuado correcciones a mano tras la impresión). La justificación de izquierda a derecha del párrafo tampoco se adapta a lo recomendado (párrafo 19.30) aunque en este caso no repercutiría negativamente en el ROC habida cuenta de que se ha dejado suficiente espacio en blanco entre las palabras. Por último, el ejemplo tampoco se ajusta a la recomendación del párrafo 16.27 (espacio de una línea y media).

SCIT/SDWG/10/3  
Anexo  
Apéndice 2, página 8

6. Página con números de línea demasiado pequeños

WO 2004/110497

PCT/US2004/013820

5 [0028] Figs. 9A-9B are plots showing the percent of mitomycin C released from liposomes comprised of HSPC/mPEG-DSPE/lipid-DTB-mitomycin C (Fig. 9A) and HSPC/cholesterol/mPEG-DSPE/lipid-DTB-mitomycin C (Fig. 9B) as a function of time of incubation in the presence of cysteine at concentrations of 150  $\mu$ M (closed symbols) and at 1.5 mM (open symbols);

10 [0029] Fig. 10 is a plot of growth rate of M109 cells, expressed as a percentage based on growth of M109 cells in the absence of drug and cysteine, as a function of mitomycin C amount, in nM, for free mitomycin c (open triangles), liposomes comprised of HSPC/mPEG-DSPE/lipid-DTB-mitomycin C (closed squares), and liposomes comprised of HSPC/cholesterol/mPEG-DSPE/lipid-DTB-mitomycin C (open circles);

15 [0030] Fig. 11A is a plot of growth rate of M109 cells, expressed as a percentage based on growth of M109 cells in the absence of drug or cysteine, as a function of mitomycin C concentration in nM. Shown are cells treated mitomycin C in free form (open triangles) and with mitomycin C in free form plus 1000  $\mu$ M cystein (closed triangles). Also shown are cells treated with the liposome formulation comprised of HSPC/PEG-DSPE/lipid-DTB-mitomycin C (open circles) and with the liposome formulation with additional cysteine added at concentrations of 150  $\mu$ M (open diamonds), 500  $\mu$ M (closed circles) and 1000  $\mu$ M (open squares);

20 [0031] Fig. 11B is a plot of growth rate of M109 cells, expressed as a percentage based on growth of M109 cells in the absence of drug or cysteine, as a function of mitomycin C concentration in nM. Shown are cells treated mitomycin C in free form (open triangles) and with mitomycin C in free form plus 1000  $\mu$ M cysteine (closed triangles). Also shown are cells treated with the liposome formulation comprised of HSPC/cholesterol/mPEG-DSPE/lipid-DTB-mitomycin C (open circles) and with the liposome formulation with additional cysteine added at concentrations of 150  $\mu$ M (open diamonds), 500  $\mu$ M (closed circles) and 1000  $\mu$ M (open squares);

25 [0032] Fig. 12 is a plot showing the percent increase in cytotoxicity (as determined by  $(IC_{50, \text{no cysteine}}/IC_{50, \text{cysteine}}) \times 100$ ) of free mitomycin C (closed squares), mitomycin C associated with liposomes comprised of HSPC/cholesterol/mPEG-DSPE/lipid-DTB-mitomycin C (closed circles), and liposomes comprised of HSPC/mPEG-DSPE/lipid-DTB-mitomycin C (open triangles) to M109 cells *in vitro* at various concentrations of cysteine;

30 [0033] Fig. 13A is a plot showing the concentration of mitomycin C in the blood of

Los números de línea plantean problemas en los procedimientos de ROC por varias razones (párrafo 3.14):

- en la medida en que no estén alineados con las líneas correspondientes, lo que se traduce en errores de detección de la línea base;
- pueden ser demasiado pequeños, provocando así errores de reconocimiento que impedirían suprimirlos debidamente del cuerpo del texto de la página mediante procedimientos de extracción XML;
- pueden estar mal ubicados en la parte texto de la página, o estar ubicados en los márgenes pero demasiado cerca del texto, y a raíz de ello podrían aparecer en todo el texto extraído mediante procedimientos de ROC.

En este ejemplo, son demasiado pequeños.

En este ejemplo, los subíndices son también demasiado pequeños (párrafo 24.35).



SCIT/SDWG/10/3  
Anexo  
Apéndice 2, página 9

7. Página con texto en varias direcciones

WO 2005/081642

PCT/JP2005/003688

Table 11 (continued-2)

	Amount in retardation-controlling agent solution (mass parts)					Amount in UV absorber solution (mass parts)						Mixing ratio of solutions			
	Retardation-control agent A-2	Retardation-control agent A-12	Retardation-control agent B	Retardation-control agent C	Retardation-control agent D	UV absorber A	UV absorber B	UV absorber C	UV absorber D	UV absorber E	UV absorber F	Cellulose acetate solution	Matting agent solution	Retardation-controlling agent solution	UV absorber solution
This invention		6	14								15	94.6	1.2	6.2	1.3
This invention	3	3	14								15	94.6	1.2	7.0	3.2
This invention	5	5	10								15	94.6	1.2	6.2	0.8
This invention		5			15	4.8	10.2					94.6	1.2	6.2	0.8
This invention		10			10	4.8	10.2					94.6	1.2	6.2	0.8
This invention					15	4.8	10.2					94.6	1.2	6.2	0.8
Comparative example	10	10										94.6	1.2	6.6	0
Comparative example			20									94.6	1.2	4.1	0
Comparative example								5	10			94.6	1.2	0	6.3
Comparative example	10	10				10.5	4.5					94.6	1.2	7.1	0.8
Comparative example	10	10				10.5	4.5					94.6	1.2	7.1	0.8

Este ejemplo no se ajusta a lo dispuesto en el párrafo 9.20.

Una de las limitaciones que todavía tienen los mejores sistemas de ROC disponibles en la actualidad es que sólo permiten leer el texto de una página en una dirección (se procede a un procesamiento previo de la página para detectar la orientación principal del texto de la página). A raíz de ello, no se tienen en cuenta ninguna de las palabras que no estén ubicadas en la dirección principal del texto. Es evidente que en una página puede haber un cuadro apaisado o incluso un texto principal apaisado con anotaciones verticales en los márgenes (número de página, número de solicitud, etc.).

8. Página con combinación de fórmulas matemáticas integradas y texto

WO 2005/116630 PCT/US2005/017216

19

$$\Delta \mathbf{L} = \frac{\hbar}{2} - \mathbf{r} \times e\mathbf{A} \quad (33)$$

$$= \left[ \frac{\hbar}{2} - \frac{e\phi}{2\pi} \right] \hat{z} \quad (34)$$

In order that the change of angular momentum,  $\Delta \mathbf{L}$ , equals zero,  $\phi$  must be  $\Phi_0 = \frac{h}{2e}$ ,

the magnetic flux quantum. The magnetic moment of the electron is parallel or

5 antiparallel to the applied field only. During the spin-flip transition, power must be conserved. Power flow is governed by the Poynting power theorem,

$$\nabla \cdot (\mathbf{E} \times \mathbf{H}) = -\frac{\partial}{\partial t} \left[ \frac{1}{2} \mu_0 \mathbf{H} \cdot \mathbf{H} \right] - \frac{\partial}{\partial t} \left[ \frac{1}{2} \epsilon_0 \mathbf{E} \cdot \mathbf{E} \right] - \mathbf{J} \cdot \mathbf{E} \quad (35)$$

Eq. (36) gives the total energy of the flip transition which is the sum of the energy of reorientation of the magnetic moment (1st term), the magnetic energy (2nd term), the

10 electric energy (3rd term), and the dissipated energy of a fluxon treading the orbitsphere (4th term), respectively,

$$\Delta E_{\text{mag}}^{\text{spin}} = 2 \left( 1 + \frac{\alpha}{2\pi} + \frac{2}{3} \alpha^2 \left( \frac{\alpha}{2\pi} \right) - \frac{4}{3} \left( \frac{\alpha}{2\pi} \right)^2 \right) \mu_B B \quad (36)$$

$$\Delta E_{\text{mag}}^{\text{spin}} = g \mu_B B \quad (37)$$

15 where the stored magnetic energy corresponding to the  $\frac{\partial}{\partial t} \left[ \frac{1}{2} \mu_0 \mathbf{H} \cdot \mathbf{H} \right]$  term increases,

the stored electric energy corresponding to the  $\frac{\partial}{\partial t} \left[ \frac{1}{2} \epsilon_0 \mathbf{E} \cdot \mathbf{E} \right]$  term increases, and the

$\mathbf{J} \cdot \mathbf{E}$  term is dissipative. The spin-flip transition can be considered as involving a magnetic moment of  $g$  times that of a Bohr magneton. The  $g$  factor is redesignated the fluxon  $g$  factor as opposed to the anomalous  $g$  factor. Using  $\alpha^{-1} = 137.03603(82)$ , the

20 calculated value of  $\frac{g}{2}$  is 1.001 159 652 137. The experimental value [23] of  $\frac{g}{2}$  is 1.001 159 652 188(4).

1.G. SPIN AND ORBITAL PARAMETERS

The total function that describes the spinning motion of each electron orbitsphere

25 is composed of two functions. One function, the spin function, is spatially uniform over the orbitsphere, spins with a quantized angular velocity, and gives rise to spin angular momentum. The other function, the modulation function, can be spatially uniform—in

which case there is no orbital angular momentum and the magnetic moment of the electron orbitsphere is one Bohr magneton—or not spatially uniform—in which case

30 there is orbital angular momentum. The modulation function also rotates with a quantized angular velocity.

The spin function of the electron corresponds to the nonradiative  $n = 1, \ell = 0$

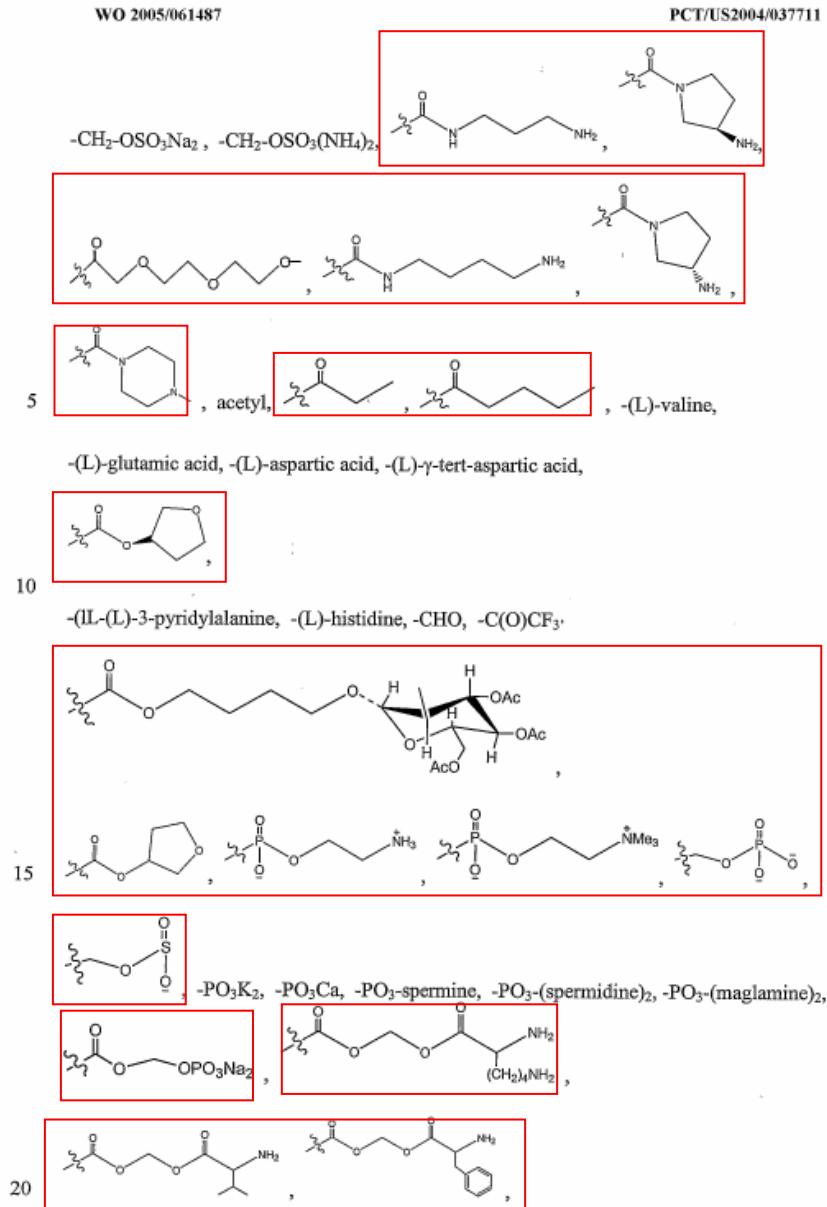
Este ejemplo no se ajusta a lo dispuesto en el párrafo 12.23. El sistema de ROC no tiene capacidad para separar correctamente el texto de las fórmulas (véase el resultado de la segmentación manual de la fórmula en rojo; las fórmulas incluso se tocan).

A título de comentario general, en este ejemplo el texto y las fórmulas son demasiado densos como para que el reconocimiento sea bueno; tampoco se ajustan a lo dispuesto en los párrafos 16.27 y 17.28.

En este ejemplo se utilizan, además, caracteres inusuales; se pueden utilizar símbolos griegos aun cuando hagan más difícil el reconocimiento de la página (véase el párrafo 40). Ahora bien, se recomienda evitar en lo posible la combinación de caracteres en cursiva, negrita y subrayado junto con caracteres inusuales (párrafo 39).

SCIT/SDWG/10/3  
 Anexo  
 Apéndice 2, página 11

9. Página con combinación de fórmulas químicas integradas y texto



Este ejemplo no se ajusta a lo dispuesto en el párrafo 12.23. En rojo se ve el resultado que cabe esperar de la segmentación de los dibujos (efectuado a mano). Esa segmentación no puede efectuarse correctamente mediante un procedimiento de ROC habida cuenta de que las fórmulas están demasiado cerca del texto.

SCIT/SDWG/10/3  
Anexo  
Apéndice 2, página 12

10. Página con subíndices demasiado pequeños

WO 2005/110416

PCT/US2005/015897

R<sub>1</sub> is hydrogen, C<sub>1</sub>-C<sub>6</sub>alkyl, C<sub>2</sub>-C<sub>6</sub>alkenyl, C<sub>2</sub>-C<sub>6</sub>alkynyl, C<sub>1</sub>-C<sub>6</sub>alkoxy, C<sub>1</sub>-C<sub>6</sub>haloalkyl, C<sub>1</sub>-C<sub>6</sub>haloalkoxy, (C<sub>2</sub>-C<sub>6</sub>cycloalkyl)C<sub>6</sub>-C<sub>4</sub>alkyl;

R<sub>3</sub> is selected from alkoxy, cycloalkoxy, phenyl, 4- to 7-membered heterocycles, -O(CH<sub>2</sub>)<sub>n</sub>phenyl, -O(CH<sub>2</sub>)<sub>n</sub>pyridyl, -E-(CR<sub>3</sub>R<sub>3</sub>)<sub>n</sub>-Q, and Q, each of which is substituted with between 0 and 3 substituents selected from halogen, cyano, hydroxy, oxo, (CR<sub>3</sub>R<sub>3</sub>)<sub>2</sub>-T, C<sub>1</sub>-C<sub>6</sub>alkyl, C<sub>1</sub>-C<sub>6</sub>alkoxy, C<sub>1</sub>-C<sub>6</sub>haloalkyl, C<sub>1</sub>-C<sub>6</sub>haloalkoxy, mono- and di-(C<sub>1</sub>-C<sub>6</sub>alkyl)amino, (C<sub>1</sub>-C<sub>6</sub>alkyl)((CR<sub>3</sub>R<sub>3</sub>)<sub>2</sub>-T)amino, benzyl, S(O)<sub>n</sub>(C<sub>1</sub>-C<sub>6</sub>alkyl), α,ω-C<sub>1</sub>-C<sub>4</sub>alkylene, α,ω-C<sub>1</sub>-C<sub>4</sub>alkyleneoxy, α,ω-C<sub>1</sub>-C<sub>4</sub>alkylenedioxy, -E-(CH<sub>2</sub>)<sub>n</sub>-Q, and Q;

T is CO<sub>2</sub>H, CONH<sub>2</sub>, C<sub>1</sub>-C<sub>6</sub>alkoxycarbonyl, mono- or di-(C<sub>1</sub>-C<sub>6</sub>alkyl)aminocarbonyl, SO<sub>3</sub>H, SO<sub>2</sub>NH<sub>2</sub> or SO<sub>2</sub>(C<sub>1</sub>-C<sub>6</sub>alkyl);

j is an integer ranging from 0 to 6;

Q is a saturated heterocyclic ring comprising between 4 and 7 ring members, in which the point of attachment is a carbon or nitrogen atom;

E is O, NR<sub>D</sub>, or a single covalent bond;

R<sub>8</sub> and R<sub>9</sub> are independently chosen from hydrogen, halogen, hydroxy, C<sub>1</sub>-C<sub>6</sub>alkyl, C<sub>1</sub>-C<sub>6</sub>alkenyl, (C<sub>2</sub>-C<sub>6</sub>cycloalkyl)C<sub>6</sub>-C<sub>4</sub>alkyl and C<sub>1</sub>-C<sub>6</sub>alkoxy; and

Ar is phenyl which is mono-, di-, or tri-substituted; or 1-naphthyl, 2-naphthyl, pyridyl, pyrimidinyl, pyrazinyl, pyridizynyl, thienyl, thiazolyl, pyrazolyl, imidazolyl, tetrazolyl, oxazolyl, isoxazolyl, pyrrolyl, furanyl, indolyl, indazolyl, or triazolyl, each of which is optionally mono-, di-, or tri-substituted.

Yet other compounds of Formula VIII include those compounds in which the group designated:



is chosen from naphthyl, tetrahydronaphthyl, benzofuranyl, benzodioxolyl, indanyl, indolyl, indazolyl, benzodioxolyl, benzo[1,4]dioxanyl and benzoxazolyl, each of which is substituted with from 0 to 3 substituents independently chosen from R<sub>8</sub>.

Certain compounds of Formula IX include those in which

Ar is mono-, di-, or tri-substituted phenyl, which phenyl group is substituted with one to three substituents independently chosen from hydroxy, halogen, cyano, amino, nitro, -COOH, aminocarbonyl, -SO<sub>2</sub>NH<sub>2</sub>, C<sub>1</sub>-C<sub>6</sub>alkyl, C<sub>1</sub>-C<sub>6</sub>alkenyl, C<sub>1</sub>-C<sub>6</sub>alkynyl, C<sub>1</sub>-C<sub>6</sub>haloalkyl, C<sub>1</sub>-C<sub>6</sub>aminoalkyl, C<sub>1</sub>-C<sub>6</sub>hydroxyalkyl, C<sub>1</sub>-C<sub>6</sub>carboxyalkyl, C<sub>1</sub>-C<sub>6</sub>alkoxy, C<sub>1</sub>-C<sub>6</sub>haloalkoxy, C<sub>1</sub>-C<sub>6</sub>alkylthio, C<sub>1</sub>-C<sub>6</sub>alkanoyl, C<sub>1</sub>-C<sub>6</sub>alkanoyloxy, C<sub>2</sub>-C<sub>6</sub>alkanone, C<sub>1</sub>-C<sub>6</sub>alkyl ether, mono- or di-(C<sub>1</sub>-C<sub>6</sub>alkyl)aminoC<sub>6</sub>-C<sub>4</sub>alkyl, -NHC(=O)(C<sub>1</sub>-C<sub>6</sub>alkyl), -N(C<sub>1</sub>-C<sub>6</sub>alkyl)C(=O)(C<sub>1</sub>-C<sub>6</sub>alkyl), -NHS(O)<sub>n</sub>(C<sub>1</sub>-C<sub>6</sub>alkyl), -(C<sub>1</sub>-C<sub>6</sub>alkyl)C(=O)NH<sub>2</sub>, -(C<sub>1</sub>-C<sub>6</sub>alkyl)C(=O)NH(C<sub>1</sub>-C<sub>6</sub>alkyl), -(C<sub>1</sub>-C<sub>6</sub>alkyl)C(=O)NH(C<sub>1</sub>-C<sub>6</sub>alkyl)(C<sub>1</sub>-C<sub>6</sub>alkyl), -S(O)<sub>n</sub>(C<sub>1</sub>-C<sub>6</sub>alkyl), -S(O)<sub>n</sub>NH(C<sub>1</sub>-C<sub>6</sub>alkyl), -S(O)<sub>n</sub>N(C<sub>1</sub>-C<sub>6</sub>alkyl)(C<sub>1</sub>-C<sub>6</sub>alkyl) and Z; or

Ejemplo típico de subíndices que son demasiado pequeños a los fines de un reconocimiento preciso. Ese fenómeno se observa a menudo en las patentes del campo de la química.

SCIT/SDWG/10/3  
Anexo  
Apéndice 2, página 13

11. Página con cuadros mal formateados

WO 2005/063765

PCT/US2004/043492

Table D

Other compounds of the invention result from selecting appropriate features from the table of possible features below. For example, compound A77 results from the following selections: none-morpholino-aryl-OCH<sub>2</sub>(CO)-piperazine-CH<sub>3</sub>.

5

Left-hand substituent	Left-hand ring	Aryl or heteroaryl	Ring substituent	Nitrogen feature	Right-hand substituent
CH3	morpholino	aryl	OCH2	NHM	alkyl
isopropyl	piperazine	thiophene	OCH2(CO)	NMM	alkoxy
CH3CH2O(CO)CH2			SO2	morpholino	alcohol
none			OCH2(CO)OCH2	piperazine	substituted amine
				piperidine	acid
				pyrazole	ester
				pyrrolidine	CH <sub>2</sub> CH <sub>2</sub> OCH <sub>3</sub>
					CH <sub>2</sub> CH <sub>2</sub> OH
					CH <sub>2</sub> NH <sub>2</sub>
					CH <sub>2</sub> NHCH <sub>2</sub> CH <sub>2</sub> CH <sub>3</sub>
					CH <sub>2</sub> NHCH <sub>3</sub>
					CH <sub>2</sub> NHCHCH <sub>3</sub> CH <sub>3</sub>
					CH <sub>3</sub>
					CHCH <sub>3</sub> CH <sub>3</sub>
					COOCH <sub>2</sub> CH <sub>3</sub>
					none

Table E

10 Other compounds of the invention result from selecting appropriate features from the table of possible features below. For example, compound B3 results from the following selections: none-morpholino-aryl-CH<sub>2</sub>-piperazine-CH<sub>2</sub>CH<sub>2</sub>OH.

Left-hand substituent	Left-hand ring	Aryl or heteroaryl	Ring substituent	Nitrogen feature	Right-hand substituent
CH3	morpholino	aryl	CH2	NHM	alkyl
isopropyl	piperazine	thiophene	CH2CH2	NMM	alkoxy
CH3CH2O(CO)CH2			CH2CH2CH2	morpholino	alcohol
none			CH2CH2CH2CH2	piperazine	substituted amine
				piperidine	acid
				pyrazole	ester
				pyrrolidine	CH <sub>2</sub> CH <sub>2</sub> OCH <sub>3</sub>
					CH <sub>2</sub> CH <sub>2</sub> OH
					CH <sub>2</sub> NH <sub>2</sub>
					CH <sub>2</sub> NHCH <sub>2</sub> CH <sub>2</sub> CH <sub>3</sub>
					CH <sub>2</sub> NHCH <sub>3</sub>
					CH <sub>2</sub> NHCHCH <sub>3</sub> CH <sub>3</sub>
					CH <sub>3</sub>

En este ejemplo, faltan los bordes del cuadro (no se ajusta a lo dispuesto en el párrafo 22.33). A raíz de ello, el sistema ROC intentará reconocer el contenido de los cuadros a modo de texto de párrafo. Eso se traduce en otros problemas, a saber:

- El tamaño de los caracteres de los cuadros es demasiado pequeño (párrafos 23.34 y 24.35).
- Se confunden las líneas base de los encabezamientos de las columnas (párrafo 18.29). A raíz de ello, el sistema no podrá detectar adecuadamente los subíndices o superíndices.
- En el texto obtenido no se tendrán en cuenta las columnas:

Left-hand Substituent ring heteroaryl Nitrogen feature Right-hand substituent  
CH3...

12. *Página justificada*

WO 2005/087962

1

PCT/EP2005/002268

GKSS-Forschungszentrum Geesthacht GmbH, Max-Planck-Stra-  
Be 1, 21502 Geesthacht

Verfahren zur Herstellung von Profilen aus Leichtmetall-  
werkstoff mittels Strangpressen

Beschreibung

Die Erfindung betrifft ein Verfahren zur Herstellung von Profilen aus Leichtmetallwerkstoff, insbesondere Magnesiumwerkstoff, mittels Strangpressen, bei dem ein Werkstoffvolumen durch eine Matrize, die die Form des gewünschten Profils bestimmt, zur Ausbildung des Profils gepreßt wird.

Die Herstellung von Profilen aus Leichtmetall- bzw. Leichtmetall-Legierungswerkstoffen mittels eines Strangpreßverfahrens ist eine allgemein eingeführte, bekannte Technologie und wird industriell angewendet. So ist es bekannt, daß konventionell verfügbare Leichtmetall- bzw. Leichtmetall-Knetlegierungen in Form von Gußblöcken durch konventionelles Strangpressen in Profilformen gepreßt werden. Dabei wird der Leichtmetall- bzw. Leichtmetall-Legierungsblock, im folgenden zusammenfassend kurz mit Werkstoffvolumen bezeichnet, bei Temperaturen

En este ejemplo se han justificado los párrafos a la izquierda y a la derecha, lo que, aunque pueda mejorar la presentación del texto, puede entorpecer los procedimientos de ROC si hay poco espacio entre las palabras (párrafo 19.30). Este ejemplo tampoco se ajusta a lo recomendado en el párrafo 20.31, en el que se estipula que debe evitarse en toda la medida de lo posible el corte de palabras al final de las líneas (el sistema de ROC a veces no diferencia los guiones fijos de los guiones selectivos, lo que se traduce en palabras con guiones no previstos).

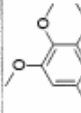
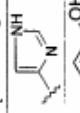

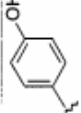

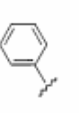

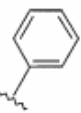
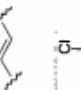
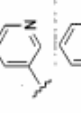

SCIT/SDWG/10/3  
 Anexo  
 Apéndice 2, página 15

13. Cuadro con bordes defectuosos

WO 2004/110415

- 60 -

PCT/EP2004/051048

Comp. No.	Exp. No.	Alk <sup>a</sup>	Y	Alk <sup>b</sup>	L	Physical data
106	B2	cb	C=O	-CH <sub>2</sub> -		2R-trans
107	B3b	cb	C=O	-CH <sub>2</sub> -		2R-trans
108	B8	cb	C=O			2R-trans, HC(1:3); H <sub>2</sub> O(1:1)
109	B2	cb	C=O			2R-trans HC(1:2) H <sub>2</sub> O(1:1)
110	B3b	cb	C=O			2R-trans
111	B2	cb	C=O			[2R-[2α,4β(E)]]
						2R-trans

En este ejemplo se observa la mala calidad de los bordes del cuadro en el original recibido antes de proceder a la digitalización. Tras la digitalización, el sistema de ROC no tiene capacidad para detectar correctamente el cuadro y será menester proceder a una segmentación manual de la página. En la medida en que no se proceda a una verificación de la calidad de la página, puede que el texto resultante contenga caracteres defectuosos, lo que se traducirá en una menor eficacia de los procedimientos de búsqueda para la indexación del documento.

SCIT/SDWG/10/3  
Anexo  
Apéndice 2, página 16

14. Subíndices y superíndices mal realizados

WO 2005/100305

PCT/IB2005/000872

-9-

- thiazolyl, pyrazolyl, pyridinyl, pyrimidinyl, purinyl, quinolinyl,  
benzofuran and isoquinolinyl.
- p. "heteroaryl, optionally substituted," refers to a heteroaryl moiety as  
defined immediately above, in which up to 4 carbon atoms of the  
heteroaryl moiety may be substituted with a substituent, each  
substituent is independently selected from the group consisting of  
halogen, cyano, hydroxy, (C<sub>1</sub>-C<sub>8</sub>)alkyl, (C<sub>1</sub>-C<sub>8</sub>)alkoxy, (C<sub>1</sub>-C<sub>2</sub>)alkyl  
substituted with one or more halogens, (C<sub>1</sub>-C<sub>2</sub>)alkoxy substituted  
with one or more halogens, SR<sup>a</sup>, and NR<sup>a</sup>R<sup>b</sup>, in which R<sup>a</sup> and R<sup>b</sup> are  
as defined above.
- q. "heterocycle" or "heterocyclic ring" refers to any 3- or 4-membered  
ring containing a heteroatom selected from oxygen, nitrogen and  
sulfur; or a 5-, 6-, 7-, 8-, 9-, or 10- membered ring containing 1, 2, or  
3 nitrogen atoms; 1 oxygen atom; 1 sulfur atom; 1 nitrogen and  
1 sulfur atom; 1 nitrogen and 1 oxygen atom; 2 oxygen atoms in  
non-adjacent positions; 1 oxygen and 1 sulfur atom in non-adjacent  
positions; or 2 sulfur atoms in non-adjacent positions. The  
5-membered ring has 0 to 1 double bonds, the 6- and 7-membered  
rings have 0 to 2 double bonds, and the 8, 9, or 10 membered rings  
may have 0, 1, 2, or 3 double bonds. The term "heterocyclic" also  
includes bicyclic groups in which any of the above heterocyclic rings  
is fused to a benzene ring, a cyclohexane or cyclopentane ring or  
another heterocyclic ring (for example, indolyl, quinolyl, isoquinolyl,  
tetrahydroquinolyl, benzofuryl, dihydrobenzofuryl or benzothienyl  
and the like). Heterocyclics include: pyrrolidinyl, tetrahydrofuranlyl,  
tetrahydrothiophenyl, piperidinyl, piperazinyl, azepane, azocane,  
morpholinyl, isochroamyl and quinolinyl.
- r. "heterocyclic, optionally substituted" refers to a heterocyclic moiety  
as defined immediately above, in which up to 4 carbon atoms of the  
heterocycle moiety may be substituted with a substituent, each  
substituent is independently selected from the group consisting of  
halogen, cyano, hydroxy, (C<sub>1</sub>-C<sub>8</sub>)alkyl, (C<sub>1</sub>-C<sub>8</sub>)alkoxy, (C<sub>1</sub>-C<sub>2</sub>)alkyl  
substituted with one or more halogens, (C<sub>1</sub>-C<sub>2</sub>)alkoxy substituted  
with one or more halogens, SR<sup>a</sup>, and NR<sup>a</sup>R<sup>b</sup>, in which R<sup>a</sup> and R<sup>b</sup> are  
as defined above. Any nitrogen atom within such a heterocyclic ring

En este ejemplo se observan los siguientes problemas (párrafo 24.35):

- los subíndices y superíndices son demasiado pequeños;
- los subíndices están ubicados demasiado por debajo de la línea base;
- los superíndices están ubicados demasiado por encima de la línea base.

A raíz de ello, así se reconocen las líneas 34 y 35 del texto utilizando el procedimiento ROC:

"Substituted with one or more halogens, (C -C )alkoxy substituted  
1 2  
8 8 9 8 9  
with one or more halogens, SR , and NR R , in which R and R are"



15. Ejemplo de caracteres inusuales

WO 2006/057705

PCT/0

c = speed of sound in water;

$\tilde{z}_u$  = initial altitude for beam pair u;

$\Delta \varepsilon_{z,u} = \varepsilon_{z,p+1,u} - \varepsilon_{z,p,u}$  = comparable to sway-reduced altitude difference;

$\Delta \varepsilon_{\gamma,u} = \varepsilon_{\gamma,p+1,u} - \varepsilon_{\gamma,p,u}$  = comparable to sway-reduced horizontal displacement;

5  $\varepsilon_{z,p,u}$  = difference of vertical linearization point in ping p, beam pair u, from nominal  $\tilde{z}_u$ ;

$\varepsilon_{z,p+1,u}$  = difference of vertical linearization point in ping p+1, beam pair u, nominal  $\tilde{z}_u$ ;

10  $\varepsilon_{\gamma,p,u}$  = difference of horizontal-range sample v linearization point in ping u, from the nominal  $\gamma_{v,u}$ . Note that this is the same for all horizontal samples;

$\varepsilon_{\gamma,p+1,u}$  = difference of horizontal-range sample v linearization point in ping pair u, from the nominal  $\gamma_{v,u}$ . Note that this is the same for all horizontal samples;

15  $\gamma_{v,u}$  = nominal horizontal offset to horizontal-range sample u for beam pair

En este ejemplo se observan los siguientes problemas:

- Caracteres inusuales: caracteres griegos en cursiva e incluso caracteres con tilde.
- También aquí los subíndices son demasiado pequeños.

La mayor parte de los sistemas de ROC no tienen capacidad para reconocer debidamente todos los caracteres inusuales.

SCIT/SDWG/10/3  
Anexo  
Apéndice 2, página 18

16. *Ejemplo de letras muy pegadas y poco espacio entre las palabras*

WO 2006/036330

PCT/US2005/028798

23. The method of claim 18, wherein the data is encoded onto the representative transmission symbol by using a modulation method selected from a group consisting of: amplitude modulation, phase modulation, frequency modulation, single-sideband modulation, vestigial-sideband modulation, quadrature amplitude modulation, orthogonal frequency division modulation, pulse-code modulation, pulse-width modulation, pulse-amplitude modulation, pulse-position modulation, pulse-density modulation, frequency-shift keying, and phase-shift keying.
24. The method of claim 18, wherein each of the at least two communication signals is transmitted through a communication medium selected from a group consisting of: a wire medium, a wireless medium, an optical fiber ribbon, a fiber optic cable, a single mode fiber optic cable, a multi-mode fiber optic cable, a twisted pair wire, an unshielded twisted pair wire, a plenum wire, a PVC wire, and a coaxial cable.
25. The method of claim 18, wherein the at least two communication signals are both transmitted wirelessly.
26. The method of claim 18, wherein the at least two communication signals are both transmitted through a wire medium.
27. The method of claim 18, wherein the at least two communication signals are transmitted through a wire medium, and wirelessly.

Este ejemplo no se ajusta a lo dispuesto en los párrafos 26.37 y 27.38. A raíz de ello, el sistema de ROC no puede distinguir correctamente unas palabras de otras y los resultados del reconocimiento serán inutilizables.

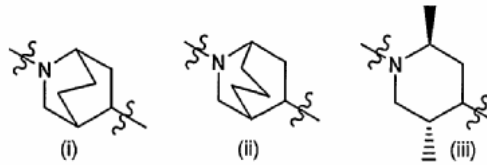
17. Sellado mal efectuado por la oficina receptora antes de la digitalización

WO 2006/058294

PCT/US2005/042931

reagent such as diborane or alkylation of the piperidine nitrogen with an alkyl halide or sulfonate ester provides the desired compounds.

[00176] Additionally, compounds of formulae (I, Ia, and Ib) in which the piperidine ring is replaced by:



Este ejemplo no se ajusta a lo dispuesto en el párrafo 33.47. A raíz de ello, las primeras seis palabras del texto de la página no son legibles mediante el procedimiento de ROC. Además, con el sellado se introducen caracteres adicionales que no son válidos y que repercutirán negativamente en la indexación en la medida en que no se proceda a la verificación de la calidad de la página.

18. Otra página con mala disposición de fórmulas matemáticas

WO 2006/079181

24

PCT/AU2006/000108

probability of the statistical outlier event of a noise only FFT bin magnitude being larger than a FFT bin containing both signal and noise is negligible.

Define,

$$\alpha = \sum_{n=0}^{N-1} r[n] \exp[-j2\pi(\frac{\hat{f}}{f_s} - \frac{1}{2N})n] \quad (9)$$

$$\beta = \sum_{n=0}^{N-1} r[n] \exp[-j2\pi(\frac{\hat{f}}{f_s} + \frac{1}{2N})n] \quad (10)$$

Then the discriminant, or distance metric, of frequency estimation error is defined as,

$$D(\varepsilon, \hat{\varepsilon}) = \frac{|\beta| - |\alpha|}{|\beta| + |\alpha|} \quad (11)$$

$$\text{where, } \varepsilon = fT_s - \frac{k_{\max}}{N} \quad (12)$$

and,

$$\hat{\varepsilon} = \hat{f}T_s - \frac{k_{\max}}{N}$$

For the initial frequency estimate using the FFT,  $\hat{f}_0 T_s = \frac{k_{\max}}{N}$  and  $\hat{\varepsilon} = 0$ .

In the noiseless case,

$$D(\varepsilon, \hat{\varepsilon}) = \begin{cases} -1, & \varepsilon - \hat{\varepsilon} = \frac{-1}{2N} \\ 0, & \varepsilon - \hat{\varepsilon} = 0, \\ 1, & \varepsilon - \hat{\varepsilon} = \frac{1}{2N} \end{cases} \quad (13)$$

$D(\varepsilon, \hat{\varepsilon})$  is a monotonically increasing function of  $\varepsilon - \hat{\varepsilon}$ . Therefore, each  $D(\varepsilon, \hat{\varepsilon})$ , there is a unique inverse mapping to  $\varepsilon - \hat{\varepsilon}$ . Clearly,  $D(\varepsilon, \hat{\varepsilon})$  may be used as a discriminant for fine frequency interpolation between FFT bin center frequencies.

There exists some functional relationship such that,

$$\hat{f}_1 T_s = \frac{k_{\max}}{N} + \psi[D(\varepsilon, \hat{\varepsilon})] \quad (14)$$

where,  $\psi(\cdot)$  is a monotone increasing function.  $\psi(\cdot)$  is called the frequency interpolation function and  $\hat{f}_1$  is the first interpolated frequency estimate.

The requirement that  $\hat{f}_1$  has zero error in the noiseless case is,

$$\psi[D(\varepsilon, \hat{\varepsilon})] = \varepsilon - \hat{\varepsilon}, \text{ for } -1 \leq D \leq 1. \text{ Therefore, } \psi^{-1}(\varepsilon - \hat{\varepsilon}) = D(\varepsilon, \hat{\varepsilon}).$$

25

THE FREQUENCY INTERPOLATION FUNCTION

Esta página no se ajusta a lo dispuesto en un gran número de recomendaciones y los resultados del ROC no son utilizables, a saber:

- las fórmulas matemáticas integradas no se han separado de los párrafos de texto (párrafo 12.23);
- se utilizan caracteres inusuales en párrafos de texto (párrafo 40);
- combinación de caracteres en cursiva con caracteres griegos (párrafo 39).

La forma correcta de presentar esta página sería utilizar espacios adicionales para separar las fórmulas integradas de los párrafos. No deberían ponerse en cursiva las letras griegas de las fórmulas y párrafos. Deberían evitarse los acentos circunflejos (^) a los fines de denotar variables en los párrafos de texto; en lugar de ello pueden utilizarse superíndices: debería pues representarse la épsilon con acento circunflejo como  $\varepsilon^\wedge$  o  $\varepsilon^{\text{acento circunflejo}}$ .

SCIT/SDWG/10/3  
Anexo  
Apéndice 2, página 21

19. *Página con caracteres en cursiva y subrayados*

WO 2006/038001

PCT/GB2005/003827

- 132 -

2-(3-{[5-Chloro-4-(1*H*-indol-3-yl)pyrimidin-2-yl]amino}piperidin-1-yl)-*N*-methylacetamide (S Enantiomer)

LCMS 399/401 [M+H]<sup>+</sup>, RT 1.88 min.

**EXAMPLE 320**

5 3-{[5-Chloro-4-(1*H*-indol-3-yl)pyrimidin-2-yl]amino}-*N*-isopropylpiperidine-1-carboxamide (Enantiomer 1)

LCMS 413/415 [M+H]<sup>+</sup>, RT 3.20 min.

**EXAMPLE 321**

10 3-{[5-Chloro-4-(1*H*-indol-3-yl)pyrimidin-2-yl]amino}-*N*-isopropylpiperidine-1-carboxamide (Enantiomer 2)

LCMS 413/415 [M+H]<sup>+</sup>, RT 3.19 min.

**EXAMPLE 322**

2-[3-[(4-{[5-Chloro-4-(1*H*-indol-3-yl)pyrimidin-2-yl]amino}piperidin-1-yl)carbonyl]pyrrolidin-1-yl]-*N*-methylacetamide (Racemate)

15 LCMS (pH 5.8) 496/498 [M+H]<sup>+</sup>, RT 2.79 min.

Se trata de un ejemplo que se plantea con frecuencia en cuanto a páginas con problemas de ROC que se observan en la publicación PCT. Esta página no se ajusta a las siguientes recomendaciones:

- Párrafo 28.29.41: Los textos no deben subrayarse. Se recomienda muy particularmente no utilizar el subrayado en las fórmulas químicas (los diccionarios no ayudan en esos casos). Eso causa problemas muy particularmente con todos los caracteres que están pegados al subrayado: l)y p... no se reconocen correctamente.
- Párrafo 39: No se recomienda utilizar caracteres en cursiva. Además se recomienda muy particularmente que no se cambie el estilo de los caracteres dentro de una misma palabra (con frecuencia, los sistemas de ROC parten de que todos los caracteres de una palabra son del mismo estilo). A raíz de ello se reconocen defectuosamente todos los "1*H*" y "-*N*".

SCIT/SDWG/10/3  
Anexo  
Apéndice 2, página 22

20. Página completamente ilegible

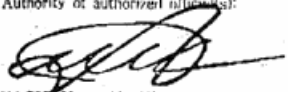
WO 2005/071074

PCT/KR2005/000214

BUILDSUIT TREATY ON THE INTERNATIONAL RECOGNITION OF THE DEPOSIT  
OF MICROORGANISMS FOR THE PURPOSE OF PATENT PROCEDURE

**INTERNATIONAL FORM -  
RECEIPT IN THE CASE OF AN ORIGINAL DEPOSIT**  
issued pursuant to Rule 7.1

TO : Maxam Biotechnology Research Institute  
#311, Hujung-ro, Kimsung-eup, Yongin-city, Kyonggi-do 449-910,  
Republic of Korea

<b>I. IDENTIFICATION OF THE MICROORGANISM</b>	
Identification reference given by the DEPOSITOR: <b>Saccharomyces cerevisiae HJ3501 / MBLK8 #36</b>	Accession number given by the INTERNATIONAL DEPOSITARY AUTHORITY: <b>KCTC 10582HP</b>
<b>II. SCIENTIFIC DESCRIPTION AND/OR PROPOSED TAXONOMIC DESIGNATION</b>	
The microorganism identified under I above was accompanied by: <input checked="" type="checkbox"/> a scientific description <input type="checkbox"/> a proposed taxonomic designation (Mark with a cross where applicable)	
<b>III. RECEIPT AND ACCEPTANCE</b>	
This International Depositary Authority accepts the microorganism identified under I above, which was received by it on <b>January 13 2004</b> .	
<b>IV. RECEIPT OF REQUEST FOR CONVERSION</b>	
The microorganism identified under I above was received by this International Depositary Authority on _____ and a request to convert the original deposit to a deposit under the Budapest Treaty was received by it on _____	
<b>V. INTERNATIONAL DEPOSITARY AUTHORITY</b>	
Name: <b>Korean Collection for Type Cultures</b>	Signature(s) of person(s) having the power to represent the International Depositary Authority of authorized official(s): 
Address: <b>Korea Research Institute of Bioscience and Biotechnology (KRIBB) #52, Oun-dong, Yusong-ku, Taejeon 305-385, Republic of Korea</b>	<b>PARK Yong-Ha Director Date: January 17 2004</b>

Form IBSA (IBTC) Form 10 1/01/2004

Esta página no debería ser aceptada por las oficinas; ha sido enviada por fax con una resolución de 100 dpi y no es legible ni por el ojo humano. En esos casos, los agentes deben partir de que todo contenido de la página constituye una imagen por cuanto no se puede extraer texto alguno.

[Fin del Apéndice 2 y del documento]